

ИЗВЕСТИЯ  
ТОМСКОГО ОРДЕНА ТРУДОВОГО КРАСНОГО ЗНАМЕНИ ПОЛИТЕХНИЧЕСКОГО  
ИНСТИТУТА им. С.М.КИРОВА

№ 251

1970

Радикал  $\text{O}_2$ , в облученном  $\text{KClO}_4$ .

А.А.Васильев, Ю.А.Захаров, Л.В.Сериков

(Представлена научным семинаром кафедры радиационной химии)

Параметры спектров электронного парамагнитного резонанса радикала  $\text{O}_2$ , в различных твердых матрицах известны из многих работ [1-4]. В связи с этим его идентификация не вызывает затруднений.

Нами изучались спектры ЭПР  $\text{O}_2$ , образующегося в монокристаллах чистого перхлората калия под действием электронов энергии 1,6 Мэв при  $T = +20^\circ\text{C}$ . Источником электронов служил ускоритель ЭСТ-2,5, регистрация спектров ЭПР проводилась с помощью модернизированного спектрометра ЭПА-2.

Облучение велось в резонаторе спектрометра. Спектры измерялись, как в процессе облучения, так и после его окончания. Такая методика позволила уменьшить ошибку в измерении концентраций, возможную за счет протекания послерадиационных реакций.

Использованные мощности дозы лежали в пределах 0,5 ± 10 Мрад/мин.

Спектр, наблюдающийся во время облучения, приведен на рис. I.

Восьмикомпонентный спектр (линии I' и I) может быть с уверенностью отнесен к радикалу  $\text{O}_2$ , на основании данных [1-4].

Радикал  $\text{O}_2$  существует в решете  $\text{KClO}_4$  в двух ориентациях относительно кристаллографических осей. При изменении направления магнитного поля каждая линия в спектре расщепляется на две (рис. 4). Расщепление не наблюдается лишь

тогда, когда  $\bar{H}1\bar{a}$ , либо  $\bar{H}1\bar{b}$  (а, в и с - кристаллографические оси  $ClO_4$ ).

Для  $Cl^{35}O_3$  (линии I) нами получены значения компонент  $\mathcal{G}$ -тензора:  $\mathcal{G}_1 = 2,009$ ;  $\mathcal{G}_2 = 2,007$ ; и компонент тензора СТС:  $A_{11} = 105$  Гс  $A_{12} = 147$  Гс. Линии II и III в спектрах на рис. I принадлежат радикалу  $ClO_2$ , подробно исследованному, в работе [5]. Оставшаяся часть спектра, по-видимому, не может быть приписана хлорсодержащим центрам.

Изменения концентрации  $ClO_3$  во время облучения при различных мощностях дозы приведены на рис. 2.

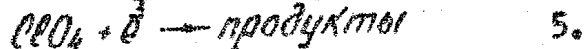
Послерадиационные изменения  $ClO_2$ ,  $ClO_3$  показаны на рис. 3. В аналогичных экспериментах при температуре  $-196^{\circ}\text{C}$  радикалов  $ClO_2$  и  $ClO_3$  обнаружено не было, в отличие от данных работы [7].

Кривые накопления имеют максимум, величина и положение которого зависят от мощности дозы излучения. Это говорит о сложности процессов образования и гибели  $ClO_3$ .

В качестве схемы, согласующейся с полученными результатами, можно предположить следующие реакции образования и гибели:



Рекомбинация  $ClO_4$  с электроном



Может уменьшить радиационно-химический выход  $ClO_3$  по реакции (1)

При постоянных значениях констант скоростей реакций I-5 кривая накопления  $ClO_3$  не должна иметь максимума. Его существование связано, по-видимому, с увеличением в процессе облучения концентрации продукта, реагирующего с  $ClO_3$  или с  $ClO_4$ .

В данном случае этим продуктом могут быть свободные электроны, рекомбинирующие с  $\text{ClO}_3$  и  $\text{ClO}_4$  по реакциям (3) и (5). Концентрация свободных электронов может увеличиться при заполнении ловушек электронов, которыми могут служить, как дефекты структуры, существующие в кристалле до облучения, так и дефекты, наведенные излучением.

При этом суммарная концентрация незаполненных дорадиационных и наведенных ловушек должна уменьшаться.

Уменьшение числа незаполненных ловушек приводит к возрастанию концентрации свободных электронов и увеличению вероятности реакций (3) и (5).

Процессы образования, заполнения и освобождения ловушек через определенное время приходят в равновесие и устанавливается стационарная концентрация свободных электронов и, следовательно, радикалов  $\text{ClO}_3$ .

Частичное освобождение ловушек после прекращения облучения (и, следовательно, прекращения генерации свободных электронов) должно привести при повторении сеанса облучения к появлению еще одного максимума на кривой зависимости концентрации  $\text{ClO}_3$  от дозы, поглощенной  $\text{KClO}_4$ .

Кривые такого вида нами действительно наблюдались.

Прерывистое облучение образцов с интервалами между выключением электронного пучка и последующим включением создает ряд последовательных максимумов концентрации  $\text{ClO}_3$ .

Наконец, наблюдаемое в (6) влияние на скорость накопления  $\text{ClO}_3$  вводимых в решетку  $\text{KClO}_4$  ионов  $\text{Ag}^+$ , являющихся акцепторами электронов также соответствует сделанному предположению о важной роли рекомбинационных реакций  $\text{ClO}_3$  и  $\text{ClO}_4$  со свободными термализованными электронами.

Предложенная схема реакций описывается следующей системой дифференциальных уравнений:

$$\frac{dc_1}{dt} = A - K_1 c_1 - K_5 c_1 c_3$$

$$\frac{dc_2}{dt} = K_1 c_1 - K_3 c_2 c_3 - K_2 c_2^2 - K_4 c_2 + 2 K_7 c_5$$

$$\frac{dc_3}{dt} = A - K_3 c_2 c_3 - K_5 c_1 c_3 - K_6 c_3 c_4$$

$$\frac{dc_4}{dt} = B - K_6 c_3 c_4$$

$$\frac{dc_5}{dt} = \frac{1}{2} K_2 c_2^2 - K_7 c_5$$

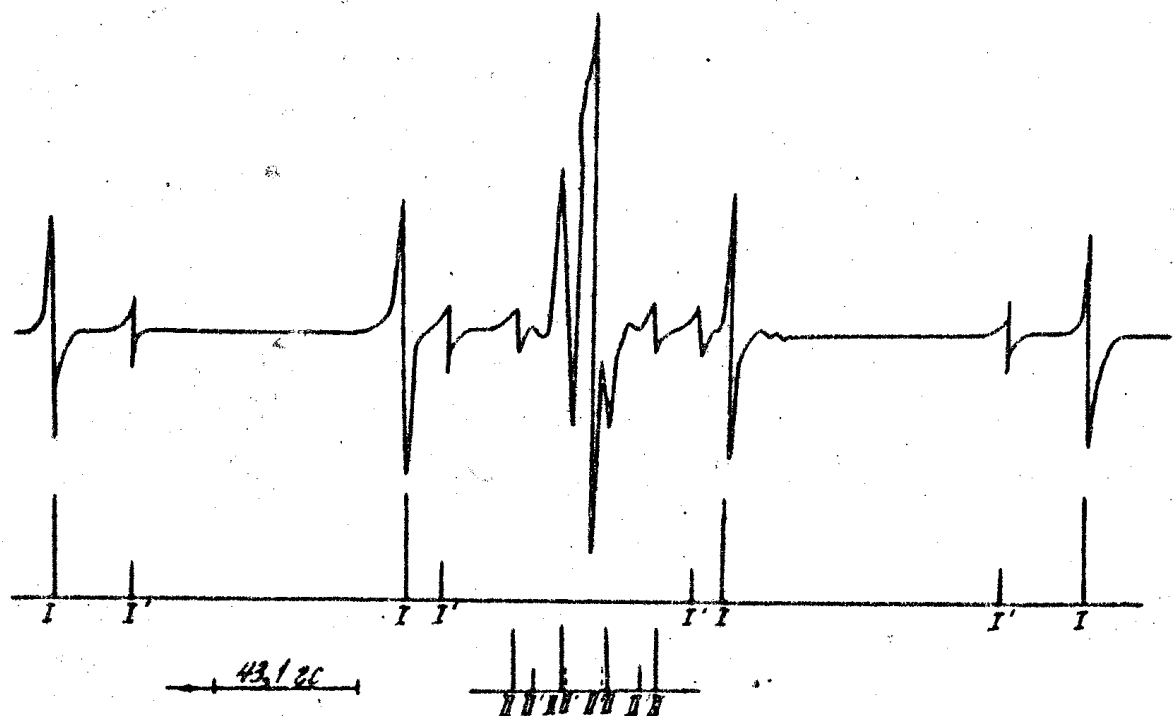


Рис.1. Спектр ЭПР  $\text{CsClO}_4$ , облученного дозой 1 Мрад,  $T = +200^\circ\text{C}$

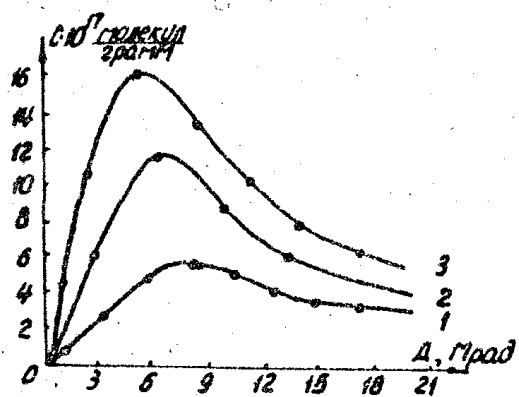


Рис.2. Накопление  $\text{ClO}_3$  при МД  
1 Мрад/мин (1), 5 Мрад/мин (2),  
8 Мрад/мин (3).

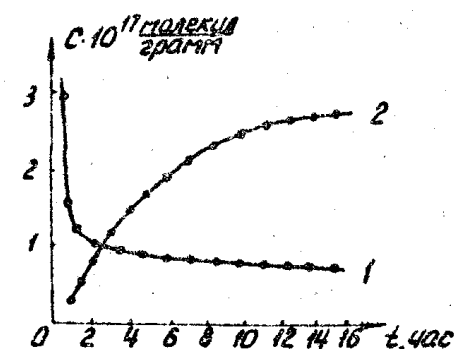


Рис.3. Изменения  $[\text{ClO}_3]$  (1)  
и  $[\text{ClO}_2]$  (2) после об-  
лучения.

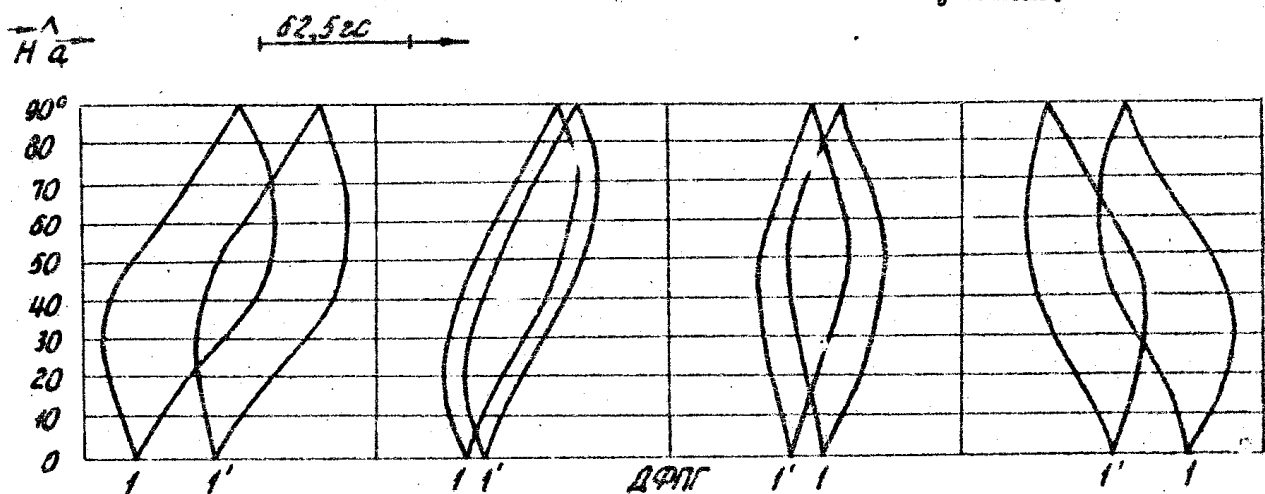


Рис.4. Зависимость положения линий в спектре ЭПР  $\text{Cl}^{35}\text{O}_3$  (1) и  
 $\text{Cl}^{37}\text{O}_3$  (2) от ориентации кристалла в магнитном поле.

Здесь  $A$  — скорость образования радикалов  $\text{ClO}_4^-$  и свободных электронов за счет ионизации анионов перхлората,  $t$  — время протекания процесса,  $C_1$ ,  $C_2$ ,  $C_3$ ,  $C_4$ ,  $C_5$ ,  $C_6$  — концентрации  $\text{ClO}_4^-$ ,  $\text{ClO}_3^-$ ,  $\text{e}^-$ , ловушек электронов и  $\text{Cl}_2\text{O}_6^{\bullet}$ , соответственно.

$K_1$ ,  $K_2$ ,  $K_3$ ,  $K_4$ ,  $K_5$  — константы скоростей реакций [I-5], соответственно,  $K_6$  — скорость реакции  $\text{ClO}_3^- + \text{e}^- \rightarrow \text{ClO}_2^-$ ,  $B$  — скорость образования дозушек  $K_6$  — константа скорости рекомбинации электронов с ловушками.

Моделирование с помощью аналоговой вычислительной машины позволило оценить применимость этой схемы.

Оказалось, что рассчитанные с помощью этой модели кривые накопления  $\text{ClO}_3^-$  могут иметь максимум лишь тогда, когда начальная концентрация ловушек электронов  $C_4^{\bullet}$  не равна нулю, а  $B < A$  и  $K_6 \neq 0$ .

Положение максимума по оси времени в широком интервале значений  $K_1-K_6$  можно оценить соотношением:

$$t_{\max} = \frac{C_4^{\bullet}}{A-B}$$

По этой формуле можно найти верхнюю оценку значения  $C_4^{\bullet}$ , используя экспериментальное значение  $t_{\max}$  при известной мощности дозы излучения.

Эта величина для  $\text{KClO}_4$  оказалась равной  $5 \cdot 10^{18}$  дозушки грамм.

#### ЛИТЕРАТУРА

1. C. Geller, T. Cole, *Chem. Eng. News*, 39, 38, 1961.
2. R. W. Atkins, J. A. Beirati, N. Keen, M. C. R. Symons, *J. Chem. Soc.*, 1962, 4785.
3. T. Cole, *J. Chem. Physics*, 35, II 69, 1961.
4. Л. В. Сериков, А. А. Васильев, Ю. А. Захаров, Изв. ТПИ, I 99, 76, 1969.
5. J. R. Bybee, S. J. K. Jensen, L. I. Mons, *J. Chem. Physics*, 46 (I), I 31, 1967.
6. А. А. Васильев, Ю. Н. Сафонов, Ю. А. Захаров, Л. В. Сериков, Настоящий сборник, стр.
7. А. В. Б. Дубовичский, Г. Б. Манелис, Кин. и Кат., 6, 828, 1965.